

**FYZIKÁLNÍ PRAKTIKUM**

## Fyzikální praktikum 2

**Zpracoval:** Artem Gorodilov**Naměřeno:** 19. října 2023**Obor:** Astrofyzika**Skupina:** Čt 8:00**Testováno:****Úloha č. 5: Magnetické pole**

$$T = 21.8\text{ }^{\circ}\text{C}$$

$$p = 976\text{ hPa}$$

$$\varphi = 35\text{ \%}$$

**1. Zadání**

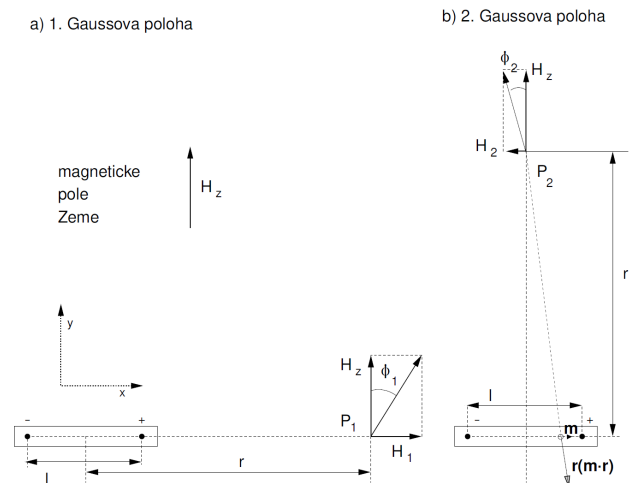
Zaměřit horizontální složky intenzity magnetického pole Země Gaussovým magnetometrem.  
Změřit magnetickou odezvu feromagnetického materiálu (hysterezní smyčka).

**2. Teorie****2.1. Geomagnetické pole**

Vlastnosti magnetického pole můžeme charakterizovat prostřednictvím intenzity magnetického pole, která je označována jako  $H$ . Tato vektorová veličina může být v každém bodě rozložena do dvou komponent. Jedna z těchto komponent směřuje horizontálně a druhá vertikálně. V našem měření se budeme zaměřovat na horizontální komponentu  $H_z$ .

Horizontální složku magnetického pole Země lze měřit pomocí Gaussova magnetometru. Tento postup zahrnuje porovnání intenzity magnetického pole Země s intenzitou permanentního magnetu za použití magnetické střílky (kompasu), která ukazuje místní směr magnetického pole Země. Vzhledem k tomu, že pro reálný případ nemůžeme zanedbat rozměry permanentního magnetu, použijeme místo jednoho tyčového magnetu dva monopóly s magnetickým nábojem  $+p$  a  $-p$  umístěné ve vzdálenosti  $l$  od sebe. Magnetická intenzita se poté dá vypočítat podle následujícího vztahu. Je však třeba zdůraznit, že magnetické monopóly jsou pouze myšlenkovými objekty a v reálném světě neexistují.

K měření horizontální složky magnetického pole Země pomocí Gaussova magnetometru se využívají dvě Gaussovy polohy, které určují polohu permanentního magnetu vzhledem k střelce kompasu. Tyto Gaussovy polohy jsou znázorněny na obrázku (1).



Obrázek (1) Schéma experimentálního uspořádání. Magnetické pole v Gaussových polohách ( $P_1$  první Gaussova poloha,  $P_2$  druhá, a) resp. b)) v okolí permanentního tyčového magnetu a jeho skládání s magnetickým polem Země v místech magnetické střílky. Permanentní magnet je vždy orientován kolmo ke směru magnetického pole Země podél osy  $x$ . Úhlové výchylky magnetické střílky od jiho-severního směru v první a druhé poloze jsou označeny  $\varphi_1$  resp.  $\varphi_2$ .

Poměr magnetického momentu magnetu k horizontální složce magnetického pole Země je roven:

$$A = \frac{M}{H_z} = \frac{4\pi r^3}{7} \left( \frac{3\tan\varphi_1}{2} + 4\tan\varphi_2 \right) \quad (1)$$

kde  $r$  je vzdálenost mezi osou magnetické střelky a středem (těžištěm) tyčového magnetu,  $\varphi_1$  je výchylka magnetky v první Gaussově poloze z jejího původního směru k magnetickému pólu Země,  $\varphi_2$  je výchylka magnetky v druhé Gaussově poloze z jejího původního směru k magnetickému pólu Země a  $\mu_0$  je permeabilita vakua.

Vyjádřením frekvence pomocí doby kmitů dostaneme rovnici:

$$B = MH_z = \frac{\pi^2 J}{\tau^2} \quad (2)$$

kde  $J$  je moment setrvačnosti magnetu a  $\tau$  je doba kyvu magnetu.

$$\tau = \frac{T}{2} \quad (3)$$

kde  $T$  je perioda kmitů

$$J = \frac{m}{4} \left( R^2 + \frac{l^2}{3} \right) \quad (4)$$

kde  $m$  je hmotnost magnetu,  $R$  je jeho poloměr a  $l$  je jeho délka.

Horizontální složka zemského magnetického pole pak bude rovna:

$$H_z = \sqrt{\frac{B}{A}} \quad (5)$$

Magnetický moment magnetu se bude rovnat:

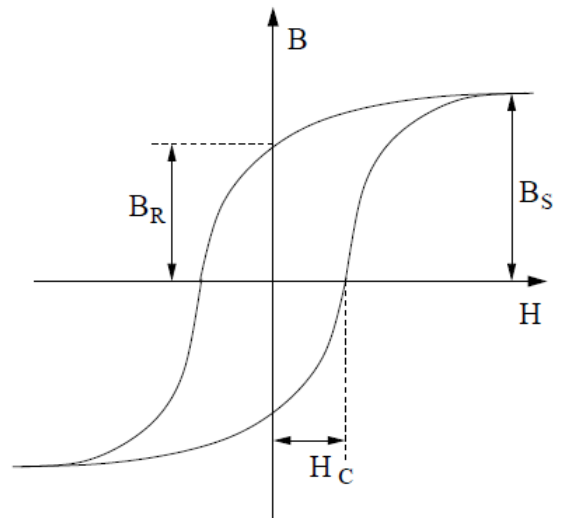
$$M = \sqrt{AB} \quad (6)$$

## 2.2. Magnetická odezva feromagnetického materiálu

Materiály můžeme klasifikovat do tří kategorií: diamagnetické, paramagnetické a feromagnetické. Feromagnetické materiály se výrazně liší od ostatních tím, že jsou schopny vykazovat magnetizaci i bez vnějšího magnetického pole. Tato magnetizace dosahuje své maximální hodnoty, když jsou všechny magnetické momenty v materiálu orientovány ve stejném směru, a tento stav nazýváme saturační (nasyčená) magnetizace  $M_s$ .

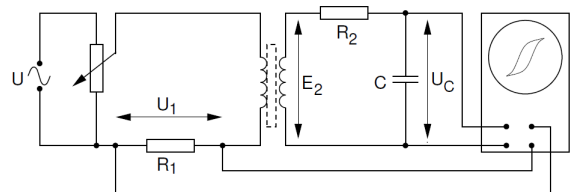
I po odstranění vnějšího magnetického pole zůstává v materiálu remanentní (zbytková) magnetizace  $M_r$ . Dále můžeme určit velikost vnějšího pole, při kterém se celková magnetická indukce stane nulovou, a tuto hodnotu nazýváme koercitivní síla (nebo pole)  $H_C$ . Na základě této charakteristiky rozdělujeme materiály na magneticky měkké a magneticky tvrdé.

Hysterezní smyčka je vidět na obrázku (2).



Obrázek (2) Typický průběh magnetické hysterezní smyčky.

Testy provádíme na jádře s feromagnetickými vlastnostmi, které slouží jako společný prvek pro dvě cívky s odlišným počtem závitů (jde o transformátor). Transformátor je napájen střídavým elektrickým proudem a jeho zapojení odpovídá obrázku (3).



Obrázek (3) Schéma obvodu pro měření magnetického pole ve feromagnetu.

Hodnota magnetické intenzity v toroidu se bude rovnat:

$$H(t) = \frac{N_1}{2\pi r R_1} U_1(t) \quad (7)$$

kde  $N_1$  je počet závitů primárního vinutí,  $r$  je poloměr jádra cívky,  $R_1$  odpor rezistoru  $R_1$  na obrázku (3) a  $U_1$  je napětí na rezistoru  $R_1$ .

Pokud je rozdíl vnitřního a vnějšího poloměru dostatečně malý:

$$r = \frac{r_{min} + r_{max}}{2}$$

kde  $r_{min}$  vnitřní poloměr jádra a  $r_{max}$  je vnější poloměr jádra.

Vztah pro magnetickou indukci:

$$B(t) = \frac{RC}{N_2 S_2} U_C(t) \quad (8)$$

kde  $R$  odpor rezistoru  $R_2$ ,  $C$  je kapacita kondenzátoru,  $N_2$  je počet závitů sekundárního vinutí,  $S_2$  je plocha průřezu jádra cívky a  $U_C$  je napětí na cívce.

Plocha průřezu jádra cívky se rovná:

$$S_2 = h(r_{min} - r_{max})^2 \quad (9)$$

kde  $h$  je ýška magnetu.

Magnetizaci  $M$  poté můžeme spočítat pomocí vztahu:

$$M = \frac{B}{\mu_0} - H \quad (10)$$

## 3. Měření

### 3.1. Geomagnetické pole

Gaussův magnetometr inicializujeme v prvním Gaussově postavení, což znamená, že šípka směřující na sever je kolmá k pravítku, na němž je připevněn kompas. Poté umístíme tyčový magnet na kolejnici rovnoběžně s pravítkem a měříme změny úhlů v různých vzdálenostech od kompasu. Jakmile zaznamenáme odchylku kompasové střelky v jedné pozici, otočíme magnet o 180 stupňů a opět změříme změnu úhlu. Tento proces opakujeme pro tři různé pozice na jedné straně magnetometru a tři pozice na druhé straně. Tím získáme celkem 12 hodnot pro změny úhlů magnetické střelky.

Následně magnet zavěsíme a vybočíme z rovnovážného stavu, abychom mohli měřit frekvenci harmonického pohybu.

Změříme hodnoty úhlů pro dvě Gaussovy polohy a vypočítáme tečny těchto úhlů:

$r$ [cm]	$\varphi_{1zakl}$ [°]	$\varphi_{1otoč}$ [°]	$\tan\varphi_1$
20	78	82	6(1)
30	57	61	1.6(1)
40	42	40	0.86(3)
-20	80	75	5(1)
-30	62	55	1.6(2)
-40	41	39	0.84(3)

Tabulka (1) Naměřené úhly pro první Gaussovu polohu.

$r$ [cm]	$\varphi_{2zakl}$ [°]	$\varphi_{2otoč}$ [°]	$\tan\varphi_2$
20	74	77	3.9(4)
30	51	51	1
40	33	34	0.66(1)
-20	73	79	4(1)
-30	53	54	1.35(3)
-40	35	33	0.68(3)

Tabulka (2) Naměřené úhly pro druhou Gaussovu polohu.

Pak vypočítáme poměr magnetického momentu magnetu k horizontální složce magnetického pole Země  $A$ :

$r$ [cm]	$A$ [m <sup>3</sup> ]
20	0.34(4)
30	0.36(1)
40	0.45(1)
-20	0.33(6)
-30	0.38(2)
-40	0.46(1)

Tabulka (3) Poměr magnetického momentu magnetu k horizontální složce magnetického pole Země.

Měření průměru, délky a hmotnosti magnetu:

$$\begin{aligned} d &= 21.5(4) \text{ [mm]} \\ l &= 123.6(2) \text{ [mm]} \\ m &= 298.55(1) \text{ [g]} \end{aligned}$$

Z tabulek:

$$\mu_0 = 4\pi \cdot 10^{-7} \left[ \frac{N}{A^2} \right]$$

Odtud zjistíme hodnotu  $A$  podle vzorce (1):

$$A = 0.39(6) \text{ [m}^3\text{]}$$

Najdeme moment setrvačnosti magnetu  $J$  podle vzorce (4):

$$J = 3.89(1) \cdot 10^{-4} \text{ [kg m}^2\text{]}$$

Z měření:

$$\tau = 6.4(2) \text{ [s]}$$

Pak zjistíme hodnotu  $B$  podle vzorce (2):

$$B = 9.3(6) \cdot 10^{-5} \left[ \frac{\text{kg m}^2}{\text{s}^2} \right]$$

Ted' můžeme vypočítat horizontální složku magnetického pole Země  $H_z$  podle vzorce (5) a magnetický moment magnetu  $M$  podle vzorce (6):

$$H_z = 16(1) \left[ \frac{A}{m} \right]$$

$$M = 6.0(5) \cdot 10^{-6} \text{ [A m}^2\text{]}$$

### 3.2. Magnetická odezva feromagnetického materiálu

Z měření rozměrů jádra cívky vyplynuly následující hodnoty:

$$r_{min} = 9.75(2) \text{ [mm]}$$

$$r_{max} = 14.50(2) \text{ [mm]}$$

$$h = 7.00(2) \text{ [mm]}$$

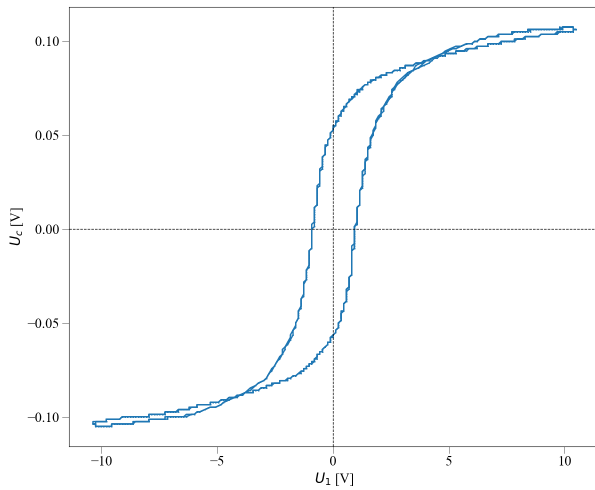
Z tabulek:

$$R_1 = 83 \text{ [}\Omega\text{]}$$

$$R_2 = 120 \text{ [k}\Omega\text{]}$$

$$C = 1.0 \text{ [}\mu\text{F}\text{]}$$

Křivku hystereze jsme získali z měření osciloskopem. Je vidět na obrázku (4).



Obrázek (4) Hysterezní křivka obvodu.

Z grafu zjistíme hodnoty  $U_1$ ,  $U_{Cr}$  a  $U_{Cs}$ :

$$U_1 = 0.92 \text{ [V]}$$

$$U_{Cr} = 0.053 \text{ [V]}$$

$$U_{Cs} = 0.11 \text{ [V]}, U_1 = 10.48 \text{ [V]}$$

Plocha průřezu jádra cívky  $S$  se zjistí ze vzorce (9):

$$S = 33.3(2) \text{ [mm}^2\text{]}$$

Odtud zjistíme hodnotu magnetické intenzity  $H_C$  v cívice podle vzorce (7):

$$H_C = 37.83(4) \text{ [}\frac{\text{A}}{\text{m}}\text{]}$$

Ze vzorce (8) zjistíme hodnoty magnetické injekce  $B$  pro napětí  $U_{Cr}$  a  $U_{Cs}$ :

$$B_r = 0.211(1) \text{ [T]}$$

$$B_s = 0.426(3) \text{ [T]}$$

Dále zjistíme hodnoty remagnetizace a saturace podle vzorce (10):

$$M_r = (1.68 \pm 0.01) \times 10^5 \text{ [T]}$$

$$M_s = (3.39 \pm 0.02) \times 10^5 \text{ [T]}$$

K výpočtu veličin a jejich nejistot byla použita knihovna Uncertainties pro Python: [pypi.org/project/uncertainties](https://pypi.org/project/uncertainties). Kód je přiložen k protokolu.

## 4. Závěr

### 4.1. Geomagnetické pole

Měření horizontální složky intenzity magnetického pole Země bylo provedeno pomocí Gaussova magnetometru. Vypočtená hodnota  $H_Z = 16(1) \text{ [}\frac{\text{A}}{\text{m}}\text{]}$ . Podle NOAA Magnetic Field Calculator, by tato hodnota měla být přibližně  $H_Z = 16.1 \text{ [}\frac{\text{A}}{\text{m}}\text{]}$ . Dále byla získána hodnota magnetického momentu zkoumaného magnetu, která je  $M = 6.0(5) \cdot 10^{-6} \text{ [A m}^2\text{]}$ .

### 4.2. Magnetická odezva feromagnetického materiálu

Koercitivní pole, reziduální magnetizace a saturační magnetizace byly určeny analýzou hysterezní křivky, z níž byly odečteny hodnoty napětí  $U_1$ ,  $U_{Cr}$  a  $U_{Cs}$ . Tak byly získány následující výsledky:  $H_C = 37.83(4) \text{ [}\frac{\text{A}}{\text{m}}\text{]}$ ,  $B_r = 0.211(1) \text{ [T]}$  a  $B_c = 0.426(3) \text{ [T]}$ .

Saturace při napětí  $U_1 = 10.48 \text{ [V]}$  se rovná  $U_{Cs} = 0.11 \text{ [V]}$ . Dále byla získána hodnota remagnetizace  $M_r = (1.68 \pm 0.01) \times 10^5 \text{ [T]}$  a saturační magnetizace  $M_s = (3.39 \pm 0.02) \times 10^5 \text{ [T]}$ .

K výpočtu chyb byl použit následující kód:

```
#Importing the libraries

import matplotlib.pyplot as plt
import numpy as np
import pandas as pd
from scipy import stats
import uncertainties as u
from uncertainties import ufloat
from uncertainties.umath import *
from uncertainties import unumpy

# Constants and values

d = ufloat(21.5, 0.4)*10**(-3) #m
l = ufloat(123.6, 0.2)*10**(-3) #m
m = ufloat(298.55, 0.01)*10**(-3) #kg
T = ufloat(6.409, 0.21697158032025) #s
mu_0 = 4*np.pi*10**(-7) #N/A^2

#Reading data

data = pd.read_excel('data.xlsx')
hist_u1 = pd.read_csv('TEK0000.csv')
hist_uc = pd.read_csv('TEK0001.csv')

#Geomagnetic pole

tan_1 = []
for ii,ID in enumerate(data['G1']):
    tan_1.append(ufloat(np.tan(np.radians((data['G1'][ii]+data['G1_rot'][ii])/2)), np.std(np.array([
        np.tan(np.radians(data['G1'][ii])), np.tan(np.radians(data['G1_rot'][ii]))]))))
data['tan_1'] = tan_1

tan_2 = []
for ii,ID in enumerate(data['G2']):
    tan_2.append(ufloat(np.tan(np.radians((data['G2'][ii]+data['G2_rot'][ii])/2)), np.std(np.array([
        np.tan(np.radians(data['G2'][ii])), np.tan(np.radians(data['G2_rot'][ii]))]))))
data['tan_2'] = tan_2

data['A'] = ((4*np.pi*data['r']**3 / 7) * (3*data['tan_1']/2 + 4*data['tan_2']))

A_values = []
A_errors = []
for ii,ID in enumerate(data['A']):
    A_values.append(data['A'][ii].nominal_value)
    A_errors.append(data['A'][ii].std.dev)

A = ufloat(np.mean(np.abs(A_values)), np.sqrt(np.std(np.abs(A_values))**2 + np.mean(np.abs(A_errors))
**2))
print('A=', A, 'm^3')

J = m/4 * ((d/2)**2 + (l**2/3))
print('J=', J*10**4, 'e-4-kg-m^2')

B = (np.pi**2 * J) / (T**2)
print('B=', B)

H_z = sqrt(B/A) * 10**(-3)
print('H_z=', H_z)

M = sqrt(A*B) * 10**(-3)
print('M=', M)

print(data)

#Magnetic odevza feromagnetick ho materi lu

r_min = ufloat(9.75, 0.02)*10**(-3) #m
r_max = ufloat(14.5, 0.02)*10**(-3) #m
h = ufloat(7, 0.02)*10**(-3) #m

R_1 = 83 #Ohm
R_2 = 120*10**3 #Ohm
N_1 = 260
N_2 = 900
C = 1 * 10**(-6) #F

U_1 = 0.92 #V
U_c_r = 0.0525 #V
U_c_s = 0.1062 #V

r = (r_min + r_max)/2

H = N_1/(2*np.pi*r*R_1) * U_1
print('H=', H)

S = (r_max - r_min)*h
print('S=', S)

B_r = R_2*C/(N_2*S) * U_c_r
print('B_r=', B_r)

B_s = R_2*C/(N_2*S) * U_c_s
print('B_s=', B_s)

M_r = B_r/ mu_0 - H
print('M_r=', M_r)

M_s = B_s/ mu_0 - H
print('M_s=', M_s)
```